

AIRBORNE GEOPHYSICAL SURVEY, KAMLOOPS, BRITISH COLUMBIA
A quantitative gamma-ray spectrometric and aeromagnetic helicopter-borne geophysical survey of the Kamloops area, British Columbia, was completed by Fugro Airborne Surveys...
Gamma-ray Spectrometric Data
The airborne gamma-ray measurements were made with an RS1 RS-500 gamma-ray spectrometer using eight 102 x 102 x 406 mm NaI (Tl) crystals...

Magnetic Data
The magnetic field was sampled 10 times per second using a split-beam cesium vapour magnetometer (sensitivity = 0.005 nT) rigidly mounted to the aircraft...
The first vertical derivative of the magnetic field is the rate of change of the magnetic field in the vertical direction. Computation of the first vertical derivative removes long-wavelength features of the magnetic field and significantly improves the resolution of short-wavelength and suppressed anomalies...

LEVÉ GÉOPHYSIQUE AÉROPORTÉ, KAMLOOPS, COLOMBIE-BRITANNIQUE
Un levé géophysique aéroporté combinant l'acquisition de données quantitatives de spectrométrie gamma et de données magnétiques a été réalisé dans la région de Kamloops, en Colombie-Britannique par la société Fugro Airborne Surveys...
Données de spectrométrie gamma
Les mesures du rayonnement gamma ont été effectuées à l'aide d'un spectromètre gamma RS1 RS-500 utilisant huit cristaux de NaI (Tl) de 102 x 102 x 406 mm...

Données de spectrométrie gamma
Les mesures du rayonnement gamma ont été effectuées à l'aide d'un spectromètre gamma RS1 RS-500 utilisant huit cristaux de NaI (Tl) de 102 x 102 x 406 mm. Le principal réseau de capteurs se composait de huit cristaux (volume total de 33,6 litres). Deux cristaux (volume total de 8,4 litres), protégés par le réseau principal, ont été utilisés pour détecter les variations du rayonnement naturel causées par le radon atmosphérique...

Le potassium est mesuré indirectement d'après les photons gamma de 1460 keV émis par le K40, tandis que l'uranium et le thorium sont mesurés indirectement d'après les photons gamma émis par des produits de fission (Bi214 pour l'uranium et Th232 pour le thorium). Bien que ces radionucléides de fission se trouvent bien dans leur chaîne respective de désintégration, on presume qu'ils sont en équilibre avec leur radionucléide père, ainsi, les mesures spectrométriques du rayonnement gamma de l'uranium et du thorium sont désignées comme des équivalents d'uranium et des équivalents de thorium, soit eU et eTh. Les plages d'énergie utilisées pour mesurer le potassium, l'uranium et le thorium sont respectivement : de 1370 à 1570 keV, de 1660 à 1860 keV et de 2410 à 2810 keV.

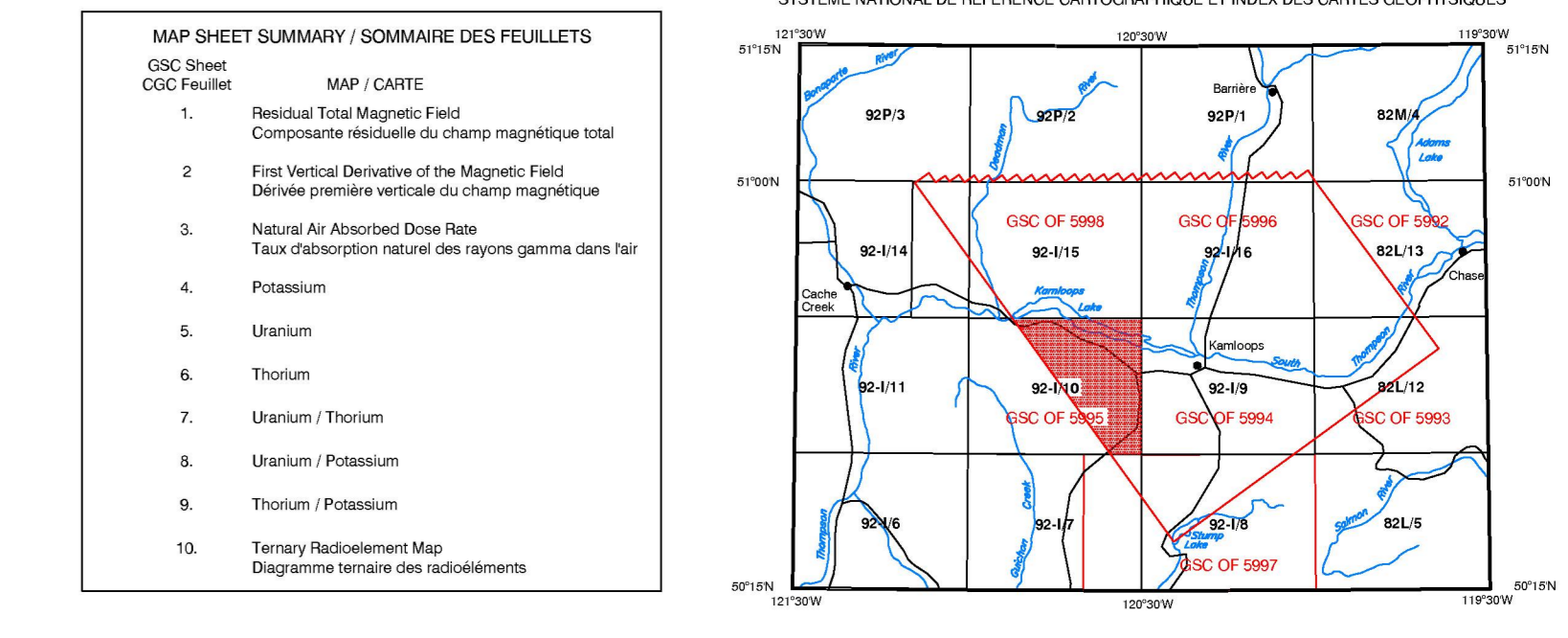
Les spectres du rayonnement gamma ont été enregistrés à des intervalles d'une seconde. L'analyse spectrale basée sur la décomposition en valeurs singulières ajustées pour le bruit (Noise Adjusted Singular Value Decomposition, NASVD) a été appliquée aux données des 256 canaux du spectre continu afin de réduire le bruit de fond statistique dans les données pour les plages d'énergie. Pendant le traitement, les spectres ont été soumis à un étalonnage énergétique et les coups ont été corrigés dans les plages d'énergie cibles. Les coups échantillonnés dans les plages de radon ont été enregistrés dans la plage de 1660 à 1860 keV et le rayonnement à des énergies supérieures à 3000 keV a été enregistré dans la plage du rayonnement cosmique. Les coups enregistrés dans les plages ont été corrigés pour leur compte du temps mort, du rayonnement de fond dû au rayonnement cosmique, de la radioactivité de l'aéronef et des produits de désintégration du radon atmosphérique. Les données pour les plages ont ensuite été corrigées pour tenir compte de la diffusion spectrale dans le sol, l'air et les capteurs. Les corrections pour les écarts à la hauteur de vol prévue et les variations de température et de pression ont été effectuées avant la conversion en concentrations équivalentes au sol du potassium, de l'uranium et du thorium, en utilisant des coefficients de correction de vols effectués au-dessus d'une bande d'étalonnage près de Kamloops. Les facteurs déterminés pour le potassium, l'uranium et le thorium étaient respectivement de 100,1 cpm/1,105 cpmppm, 10,5 cpm/1,105 cpmppm et 6,1 cpm/1,105 cpmppm.

Un filtre a été appliqué aux données corrigées, qui ont ensuite été interpolées suivant une grille à maille de 100 m. Les résultats d'un levé aérien de spectrométrie gamma représentent les concentrations moyennes à la surface, qui sont influencées par les étiendues variables des affleurements, des morts-terrains, de la couverture végétale et de l'eau de surface. Par conséquent, les concentrations mesurées sont habituellement plus faibles que les concentrations réelles dans le substratum rocheux. Le débit total de la dose absorbée par l'air, en nanograys à l'heure, a été déterminé d'après les coups mesurés dans la plage de 400 à 2810 keV.

Données sur le champ magnétique
Le champ magnétique a été échantillonné 10 fois par seconde à l'aide d'un magnétomètre à vapeur de césium à faisceau parallèle à 0,005 nT rigoureusement fixé à l'aéronef. Les différences de valeur du champ magnétique aux intersections des lignes de contrôle et des lignes de levé ont été analysées par ordinateur afin d'obtenir un jeu de données sur le champ magnétique multirésolution basé sur les lignes de vol. Ces valeurs multirésolution ont ensuite été interpolées suivant une grille à maille de 100 m. Le champ géomagnétique international de référence (International Geomagnetic Reference Field, IGRF) défini à l'altitude moyenne fournie par les données GPS a été soustrait en date de chaque jour de vol. La soustraction de l'IGRF, qui représente le champ magnétique du noyau terrestre, fournit une composante résiduelle essentiellement reliée à la magnétisation de l'écorce terrestre.

La dérivée première verticale du champ magnétique représente le taux auquel varie le champ magnétique suivant la verticale. Le calcul de la dérivée première verticale supprime les composantes de grande longueur d'onde du champ magnétique et améliore considérablement la résolution des anomalies rapprochées les unes des autres ou superposées. L'une des propriétés des cartes de la dérivée première verticale est la coïncidence de l'isogamme de valeur zéro et des contacts verticaux aux hautes latitudes magnétiques (Hood, 1965).

References/Références
Hood, P.J. 1965. Gradient measurements in aeromagnetic surveying. Geophysics, 30, 891-902.



This airborne geophysical survey and the production of this map were funded by the Geoscience for Mountain-Pine Beetle Program of the Earth Sciences Sector.

GSC OPEN FILE 5995 / DOSSIER PUBLIC 5995 DE LA CGC
GEOPHYSICAL SERIES / SÉRIE DES CARTES GÉOPHYSIQUES
NTS 92-1/10 / SNRC 92-1/10

AIRBORNE GEOPHYSICAL SURVEY KAMLOOPS BRITISH COLUMBIA
LEVÉ GÉOPHYSIQUE AÉROPORTÉ KAMLOOPS COLOMBIE-BRITANNIQUE

URANIUM

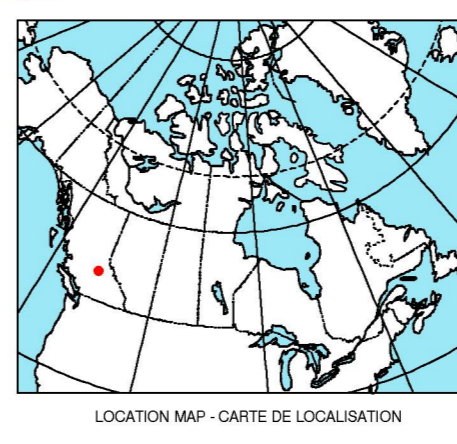
Authors: J. M. Carson, R. Dumont and J. L. Buckie.
Data acquisition, compilation and map production by Fugro Airborne Surveys, Toronto, Ontario.

Auteurs: J. M. Carson, R. Dumont et J. L. Buckie.
L'acquisition, la compilation des données ainsi que la production des cartes furent effectuées par Fugro Airborne Surveys, Toronto, Ontario.

Scale 1:50 000 - Échelle 1:50 000
kilomètres 1 2 3 4 kilomètres



Universal Transverse Mercator Projection / Système de coordonnées géographiques universelles de Mercator
North American Datum 1983 / Système de référence géodésique nord-américain 1983
Topographic Contour Interval: 10 m / Intervalle des courbes topographiques: 10 m
© Her Majesty the Queen in Right of Canada 2009 / © Sa Majesté la Reine du Canada 2009



OPEN FILE / DOSSIER PUBLIC
5995
2009
SHEET 5 OF 10 / FEUILLE 5 DE 10

AIRBORNE GEOPHYSICAL SURVEY KAMLOOPS BRITISH COLUMBIA
LEVÉ GÉOPHYSIQUE AÉROPORTÉ KAMLOOPS COLOMBIE-BRITANNIQUE